

Обработка сигналов

такой

Оценим частоты радиомпульса с неизвестным временем прихода

А. П. Чирков, А. Ф. Зекаров

Быстро и просто в задачах обработки сигналов определить частоту неизвестного радиомпульса.

РАДИОТЕХНИКА

1991

№ 6

различаются в разных приборах, но во всех случаях они могут быть определены по известной конструкции приемника.

Скорость изменения случайного радиомпульса исследованной в [2] М-спектрометрией определяется временем прихода А-диagramмы максимумов (1) времени развертки. Максимальное значение времени развертки определяется из выражения (1), где разрешение времени определяется временем развертки:

Частота развертки радиометра определяется выражением (2), где разрешение времени определяется временем развертки:

$$\Delta t = \frac{1}{f_1} \ln \left(\frac{1 + \sqrt{1 + 4 \cdot \frac{\Delta f}{f_1}}}{2} \right) \quad (1)$$

где f_1 — частота развертки измерителя и выражена градусами

или Калс [1]. Рассмотрим

$$\Delta f = \frac{1}{\Delta t} \ln \left(\frac{1 + \sqrt{1 + 4 \cdot \frac{\Delta f}{f_1}}}{2} \right) \quad (2)$$

области применения любой частоты сигнала.

Радиочастоты для измерения времени развертки разделим на две группы: первые из которых являются радиочастотами, а вторые — высокочастотными. Для высокочастотных радиочастот будем предполагать, что

предполагаем, что имеются некоторые ограничения на максимальную частоту f_{max} радиочастот, на которую можно разрешить время Δt и измерить ее. Время разрешения определяется выражением (1). Предположим, что измерительные приборы имеют одинаковую чувствительность к частоте f . Тогда для измерения времени развертки будем использовать выражение (2).

Обработка сигналов

УДК 621.391

Оценка частоты радиоимпульса с неизвестным временем прихода

А. П. Трифонов, А. В. Захаров

Выполнены синтез и анализ двух алгоритмов оценки частоты гауссовского случайного импульса; получена зависимость дисперсии оценки от ошибок синхронизации.

Во многих прикладных задачах статистической радиотехники необходимо производить измерение несущей частоты или доплеровского смещения частоты флуктуирующих радиоимпульсов [1—3]. При гауссовых флуктуациях радиосигнала эта задача сводится к оценке смещения центральной частоты спектра мощности отрезка реализации центрированного гауссова случайного процесса

$$s(t, v_0) = \begin{cases} a(t) \cos [(\omega_0 + v_0)t + \varphi(t)], & \lambda_0 < t < \lambda_0 + \tau; \\ 0, & t \leq \lambda_0; t \geq \lambda_0 + \tau, \end{cases} \quad (1)$$

принимаемого в течение времени $[0; T]$ на фоне гауссова белого шума с односторонней спектральной плотностью N_0 .

Оценка частоты случайного радиоимпульса исследовалась в [2, 3] в предположении, что время прихода λ_0 радиоимпульса (1) априори известно. Цель работы — синтез и анализ алгоритмов оценки частоты v_0 радиоимпульса (1) с учетом возможного незнания времени его прихода λ_0 .

Спектр мощности стационарного гауссова случайного процесса $\xi(t) = a(t) \cos[(\omega_0 + v)t + \varphi(t)]$ запишем как [1]

$$G(\omega, v) = \frac{G_0}{2} \left[f\left(\frac{\omega_0 - \omega + v}{\theta}\right) + f\left(\frac{\omega_0 + \omega + v}{\theta}\right) \right],$$

где $f(x)$ определяет форму спектра мощности и нормирована так, что

$$\max f(x) = 1, \quad \int_{-\infty}^{\infty} f^2(x) dx = 1,$$
$$\theta = \int_{-\infty}^{\infty} G^2(\omega, v) d\omega / [2 \max G^2(\omega, v)] -$$

эквивалентная полоса частот сигнала (1).

Будем считать, что неизвестное смещение частоты v_0 распределено равновероятно на интервале $[-\Omega/2; \Omega/2]$ и что $\theta \ll \omega_0, \Omega \ll \omega_0$. Обозначим $\mu = \tau\theta/(2\pi)$ и рассмотрим оценку смещения частоты v_0 при $\mu \gg 1$.

Предположим, что имеется независимый от наблюдаемой реализации $x(t)$ канал синхронизации, на выходе которого формируется синхроимпульс с длительностью τ и временем прихода $\hat{\lambda}$. Принимая в качестве истинного значения λ_0 время прихода $\hat{\lambda}$ синхроимпульса, найдем оценку максимального правдоподобия \hat{v} частоты v_0 . Член логарифма функционала отношения правдоподобия, зависящий от неизвестной частоты, при $\mu \gg 1$ можно представить в виде [2, 4]

$$M_1(v) = \frac{1}{2} \int_{\hat{\lambda}}^{\hat{\lambda} + \tau} y^2(t, v) dt, \quad (2)$$

где $y(t, v)$ — отклик фильтра с передаточной функцией $H(i\omega, v)$ на реализацию наблюдаемых данных $x(t)$, причем

$$|H(i\omega, v)|^2 = 2G(\omega, v) / [N_0[N_0/2 + G(\omega, v)]]. \quad (3)$$

При фиксированном значении $\hat{\lambda}$ радиоимпульса (1) оценка неизвестной частоты v_0 определяется как $[2 - 4\hat{v}] = \arg \sup M_1(v)$. Этую оценку можно получить с

помощью многоканального измерителя рис. 1, где 1 — ключ, который открывается синхроимпульсом на время $[\hat{\lambda}; \hat{\lambda} + \tau]$; $H_i, i=1, n$ — набор фильтров с передаточными функциями $H(i\omega, v_i)$ (3); 2 — квадраторы; 3 — интеграторы; 4 — решающее устройство, которое определяет номер i канала с наибольшим выходным сигналом интегратора. Центральные частоты v_i фильтров H_i обычно располагают равномерно на интервале $[-\Omega/2; \Omega/2]$.

Вследствие неизбежного наличия помех в канале синхронизации обычно $\hat{\lambda} \neq \lambda_0$. Выясним в какой степени ошибки синхронизации влияют на точность оценки частоты \hat{v} . При этом число каналов n в измерителе полагаем настолько большим, что потерями в точности оценки частоты, обусловленными дискретным изменением аргумента логарифма функционала отношения правдоподобия (2) можно пренебречь [2, 4]. Аналогично [2, 4] для (2) справедливо пред-

ставление $M_1(v) = S(v - v_0) + N(v) + C$, где $C = \mu q \int_{-\infty}^{\infty} f(x)[1 + qf(x)]^{-1} dx$ — несущественная постоянная ($q = G_0/N_0$).

Сигнальная функция

$$S(v) = \mu q^2 (1 - \delta_\lambda) \int_{-\infty}^{\infty} \frac{f(x)f(x - l)dx}{1 + qf(x)} \quad \text{при } \delta_\lambda < 1 \quad (4)$$

и $S(v) = 0$ при $\delta_\lambda \geq 1$, где $l = v/\theta$; $\delta_\lambda = |\hat{\lambda} - \lambda_0|/\tau$ — относительная погрешность синхронизации.

Шумовую функцию $N(v)$ при $\mu \gg 1$ можно считать реализацией центрированного гауссовского случайного процесса [1, 2] с корреляционной функцией

$$K(v_1, v_2) = \langle N(v_1)N(v_2) \rangle = \mu q^2 \int_{-\infty}^{\infty} \frac{f(x+l_1)f(x+l_2)[1 + qf(x+l_1)]^2 dx}{[1 + qf(x+l_1)][1 + qf(x+l_2)]} -$$

$$- \delta_\lambda \mu q^3 \int_{-\infty}^{\infty} \frac{f(x+l_0)[2 + qf(x+l_0)]f(x+l_1)f(x+l_2)dx}{[1 + qf(x+l_1)][1 + qf(x+l_2)]} \quad (5)$$

при $\delta_\lambda < 1$ и

$$K(v_1, v_2) = \mu q^2 \int_{-\infty}^{\infty} \frac{f(x)f(x+l_1 - l_2)dx}{[1 + qf(x)][1 + qf(x+l_1 - l_2)]} \quad (6)$$

при $\delta_\lambda \geq 1$, где $l_i = v_i/\theta, i=0, 1, 2$.

Когда $\delta_\lambda < 1$, сигнальная функция (4) достигает максимума при $v = v_0$. Если к тому же $\mu \gg 1$, то оценка \hat{v} будет несмешенной, а дисперсия оценки

$$D(\hat{v}) = \frac{\partial^2 K(v_1, v_2)}{\partial v_1 \partial v_2} \left[\frac{\partial^2 S(v - v_0)}{\partial v^2} \right]^{-2} \Bigg|_{v_1 = v_2 = v = v_0} \quad (7)$$

Подставляя (4), (5) в (7), получаем

$$D(\hat{v}) = D(v_m) (1 - \delta_\lambda \gamma_1 / \gamma) / (1 - \delta_\lambda)^2, \quad (8)$$

где

$$D(v_m) = \theta^2 / (\mu q^2 \gamma) \quad (9)$$

— дисперсия оценки максимального правдоподобия частоты радиоимпульса с априори известным временем прихода [2—4];

$$\gamma = \int_{-\infty}^{\infty} [df(x)/dx]^2 [1 + qf(x)]^{-2} dx;$$

$$\gamma_1 = \int_{-\infty}^{\infty} [df(x)/dx]^2 qf(x) [2 + qf(x)] [1 + qf(x)]^{-4} dx.$$

При $q \ll 1$ формула (8) принимает вид

$$D(\hat{v}) = D(v_m) / (1 - \delta_\lambda)^2, \quad (10)$$

а при $q \gg 1$

$$D(\hat{v}) = D(v_m) / (1 - \delta_\lambda). \quad (11)$$

Формулы (8), (10), (11) позволяют определить потери в точности оценки частоты при $\delta_\lambda < 1$ за счет ошибок синхронизации. Когда $\delta_\lambda \geq 1$, функция (4) обращается в нуль и оценка определяется как положение наибольшего максимума реализации шумовой функции $N(v)$. Как отмечалось, при $\delta_\lambda \geq 1$ шумовая функция представляет собой реализацию стационарного случайного процесса с корреляционной функцией (6). Следовательно, оценка \hat{v} распределена равновероятно в интервале $[-\Omega/2; \Omega/2]$ и обладает безусловным рассеянием $V(\hat{v}) = \langle (\hat{v} - v_0)^2 \rangle = \Omega^2/6$, которое представляет собой дисперсию разности двух независимых равновероятно распределенных случайных величин \hat{v} и v_0 [2].

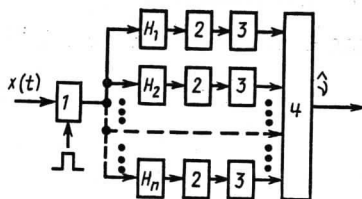


Рис. 1

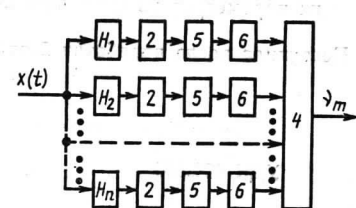


Рис. 2

Если не удается обеспечить высокую точность синхронизации, то при $\mu \gg 1$ целесообразно исключить влияние неизвестного времени прихода радиоимпульса (1) на оценку его частоты v_0 . Для этого, согласно [2], максимизируем по λ логарифм функционала отношения правдоподобия. Получаем, что оценка максимального правдоподобия частоты v_0 радиоимпульса (1) при неизвестном времени его прихода

$$v_m = \arg \sup_v M(v), \quad (12)$$

$$\text{где } M(v) = \sup_{\lambda} \int_{\lambda}^{\lambda+\tau} y^2(t, v) dt, \quad \lambda \in [0; T].$$

Оценку (12) можно получить с помощью многоканального измерителя, показанного на рис. 2, где 5 — фильтры, согласованные с прямоугольным импульсом $\Psi(t) = \begin{cases} 1, & 0 \leq t \leq \tau; \\ 0, & t < 0; t > \tau; \end{cases}$ 6 — пиковые детекторы (остальные обозначения, как на рис. 1).

Используя метод локально-марковской аппроксимации, можно аналогично [5] найти характеристики оценки (12), асимптотически точные при $\mu \rightarrow \infty$. Формулы для характеристик оценки (12) довольно громоздки и неудобны для конкретных расчетов. Анализ этих формул показывает, что при $\mu \gg 1$, т. е. при больших отношениях сигнал-шум, характеристики оценки (12) практически совпадают с характеристиками оценки максимального правдоподобия частоты радиоимпульса (1) при априори известном времени прихода. Действительно, когда $\mu \gg 1$ и, следовательно, отношение сигнал-шум достаточно велико, вероятность аномальных ошибок оценивания пренебрежимо мала, что обеспечивает высокую апостериорную точность оценки (12). Известно [2], что в условиях высокой апостериорной точности совместные оценки частоты и времени прихода радио-

импульса без внутриимпульсной частотной модуляции некоррелированы и их характеристики совпадают с характеристиками разделенных оценок [2, 5]. Поэтому оценку (12) в первом приближении можно считать несмещенной и обладающей дисперсией (9). Следовательно в условиях высокой апостериорной точности незнания времени прихода радиоимпульса (1) не влияет на точность оценки максимального правдоподобия частоты радиосигнала, а приводит лишь к несколько более сложной структуре измерителя на рис. 2 по сравнению с измерителем на рис. 1.

- Полученные результаты позволяют сделать обоснованный выбор между двумя измерителями в зависимости от погрешностей канала синхронизации, а также от требований, предъявляемых к точности оценки частоты и к степени простоты технической реализации измерителя.

Литература

1. Тихонов В. И. Статистическая радиотехника.— М.: Радио и связь, 1982.
2. Кулаков Е. И., Трифонов А. П. Оценка параметра сигналов на фоне помех.— М.: Сов. радио, 1978.
3. Трифонов А. П., Енина Е. П.— Радиотехника, 1983, № 8.
4. Кулаков Е. И. Методы измерения случайных процессов.— М.: Радио и связь, 1986.
5. Трифонов А. П., Шинаков Ю. С. Совместное различение сигналов и оценка их параметров на фоне помех.— М.: Радио и связь, 1986.

Поступила после доработки 2 августа 1990 г.

УДК 621.391

Оптимальная аппроксимация реализаций случайных процессов локальными сплайнами

Ю. В. Захаров

Синтезированы оптимальные весовые коэффициенты для аппроксимации реализаций стационарных случайных процессов локальными сплайнами; на примере случайных процессов со спектральными плотностями Баттервортта различных порядков исследована эффективность оптимальных и квазиоптимальных локальных сплайнов степени $n=1, 2, 3$.

Во многих приложениях цифровой обработки сигналов применяются методы сплайн-аппроксимации. Практически удобны локальные сплайны, построение которых требует небольших вычислительных затрат. Локальный сплайн степени n можно записать в виде

$$x_n(t) = \sum_{i=-\infty}^{\infty} c_i B_n(t - iT), \quad (1)$$

где $B_n(t)$ — B -сплайн степени n [1];

$$c_i = \sum_{k=-L}^L a_k x(iT - kT); \quad (2)$$

$x(t)$ — аппроксимируемый сигнал; T — интервал дискретизации (a_k — весовые коэффициенты).

B -сплайн степени n образуется в результате n -кратной свертки B -сплайна нулевой степени

$$B_0(t) = \begin{cases} 1, |t| < T/2; \\ 0, |t| \geq T/2. \end{cases}$$

В случае $n=1, 2, 3$ B -сплайны можно записать в виде